

TRAZADO DE LINEAS EQUIPOTENCIALES

Líneas Equipotenciales: lugar geométrico donde el potencial eléctrico toma el mismo Valor.

$$\nabla \cdot \vec{E} = \frac{\rho}{\epsilon_0} \quad \text{Ley de Gauss}$$

Campos Electrostáticos

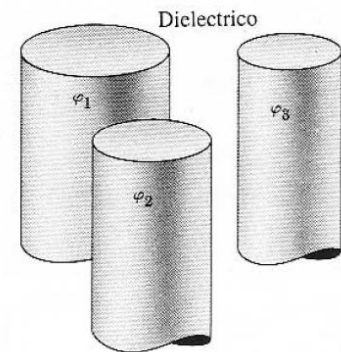
$$\left\{ \begin{array}{l} \nabla \times \vec{E} = 0 \\ \vec{E} = -\nabla \Phi \end{array} \right. \quad \longrightarrow \quad \nabla \cdot \nabla \Phi = \nabla^2 \Phi = -\frac{\rho}{\epsilon_0}$$

Ecuación de Laplace

$$\nabla^2 \Phi = 0$$

$$\nabla^2 \Phi = \frac{\partial^2 \Phi}{\partial x^2} + \frac{\partial^2 \Phi}{\partial y^2} + \frac{\partial^2 \Phi}{\partial z^2}$$

$$\Phi = \Phi(x, y, z)$$



Resolución de la Ecuación de Laplace

Métodos analíticos

- *Métodos de la imágenes*
- *Separación de Variables*

Métodos aproximados

- *Método analógicos (experimental).*
- *Métodos Numéricos (método de relajación).*

Método Analógico

Ecuación de Continuidad $\frac{\partial \rho}{\partial t} + \nabla \cdot \vec{j} = 0$ Densidad de corriente

Corrientes estacionarias $\text{Div } \vec{j} = \nabla \cdot \vec{j} = 0$ $dI = \vec{j} \cdot \vec{n} dA$

Ley de Ohm $\vec{j} = \sigma \vec{E}$ $\sigma = \text{Conductividad}$

$\text{Div } \vec{j} = \nabla \cdot (\sigma \vec{E}) = 0$ \longrightarrow $\nabla \cdot \vec{E} = 0$

$\nabla \times \vec{E} = 0$ $\vec{E} = -\nabla \Phi$ Campos Electrostáticos

$\nabla^2 \Phi = 0$ Ecuación de Laplace

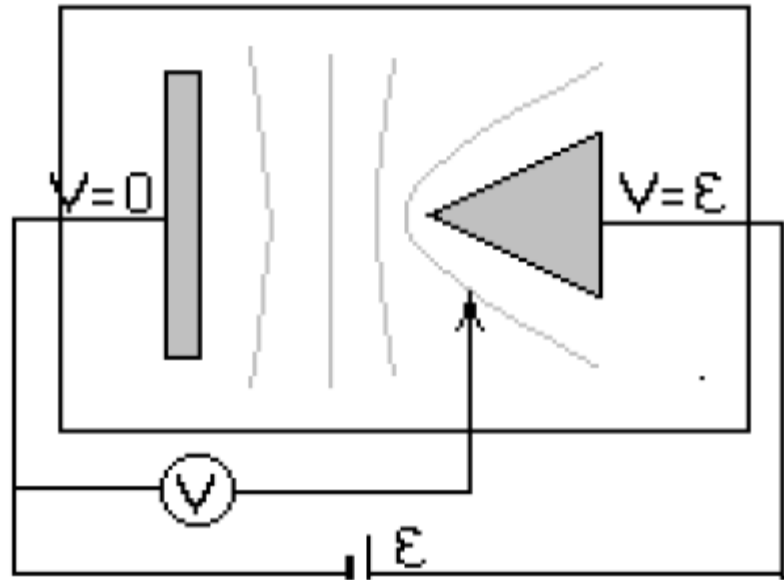
El potencial en el conductor (corrientes Estacionarias) cumple la ecuación de Laplace.

$\vec{E}_{\text{electrostatico}} \longleftrightarrow \vec{j}_{\text{conductor}}$

$\Phi_{\text{electrostatico}} \longleftrightarrow \Phi_{\text{conductor}}$

Método Analógico

$$\vec{E}_{\text{electrostatico}} \longleftrightarrow \vec{J}_{\text{conductor}}$$
$$\Phi_{\text{electrostatico}} \longleftrightarrow \Phi_{\text{conductor}}$$



$$\nabla^2 \Phi = 0$$

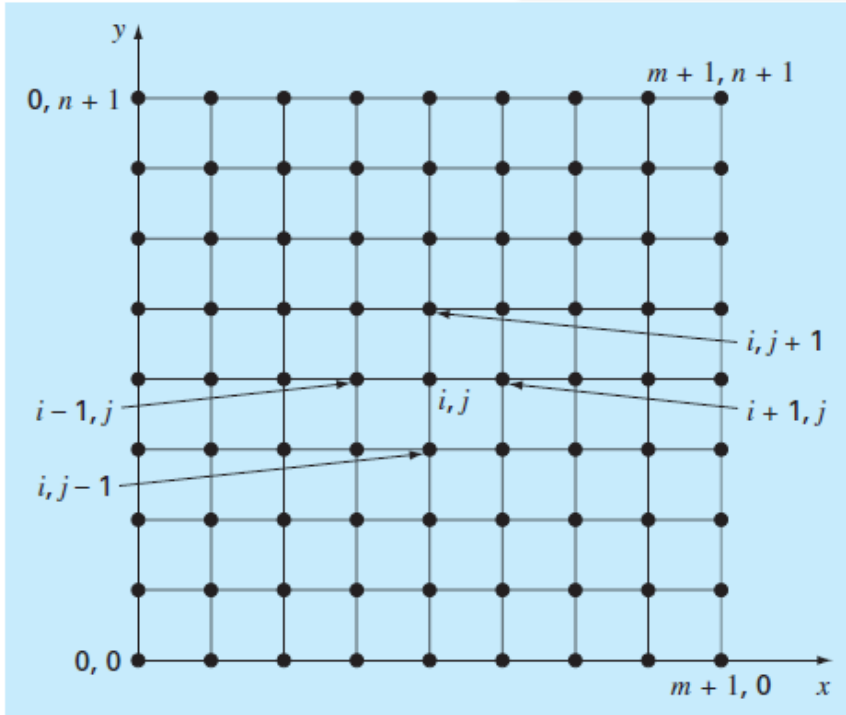
Por medio de mediciones de potencial mediante tester en régimen de corrientes estacionarias resolvemos la ecuación de Laplace.

Las *líneas de campo* son perpendiculares a *líneas equipotenciales* (L.E.)

$$|\vec{E}| \approx \left| \frac{V(x_2) - V(x_1)}{\Delta x} \right|$$

Menor separación de L.E., implica mayor intensidad del campo eléctrico.

Método de Relajación



Malla para la solución por diferencias finitas de la ecuación de Laplace

$$\frac{\partial^2 \Phi}{\partial x^2} + \frac{\partial^2 \Phi}{\partial y^2} = 0 \quad \text{Ec. de Laplace}$$

$$\Delta x = \Delta y = d$$

$$\frac{\partial \Phi}{\partial x} = \frac{\Phi_{i+1,j} - \Phi_{i-1,j}}{2d} \quad \frac{\partial \Phi}{\partial y} \cong \frac{\Phi_{i,j+1} - \Phi_{i,j-1}}{2d}$$

$$\begin{aligned} \frac{\partial^2 \Phi}{\partial x^2} &\cong \frac{\frac{\Phi_{i+2,j} - \Phi_{i,j}}{2d} - \frac{\Phi_{i,j} - \Phi_{i-2,j}}{2d}}{2d} = \frac{\Phi_{i+2,j} - 2\Phi_{i,j} + \Phi_{i-2,j}}{4d^2} \\ &= \frac{\Phi_{i+1,j} - 2\Phi_{i,j} + \Phi_{i-1,j}}{d^2} \end{aligned}$$

$$\frac{\partial^2 \Phi}{\partial x^2} \cong \frac{\Phi_{i+1,j} - 2\Phi_{i,j} + \Phi_{i-1,j}}{d^2}$$

$$\frac{\partial^2 \Phi}{\partial y^2} \cong \frac{\Phi_{i,j+1} - 2\Phi_{i,j} + \Phi_{i,j-1}}{d^2}$$

$$\frac{\Phi_{i+1,j} - 2\Phi_{i,j} + \Phi_{i-1,j}}{d^2} + \frac{\Phi_{i,j+1} - 2\Phi_{i,j} + \Phi_{i,j-1}}{d^2} = 0 \quad \longrightarrow \quad \Phi_{i+1,j} + \Phi_{i-1,j} + \Phi_{i,j+1} - 4\Phi_{i,j} + \Phi_{i,j-1} = 0$$

Se resuelve en forma iterativa -> **Met. Relajación**

$$\Phi_{i,j} = \frac{\Phi_{i+1,j} + \Phi_{i-1,j} + \Phi_{i,j+1} + \Phi_{i,j-1}}{4}$$

$\Phi_{i,j}$ que satisface la ecuación de Laplace

Método de Relajación

Condiciones de Borde

Condiciones de borde de Dirichlet

$$\Phi_{\text{contorno}}(\text{conductor}) = \Phi_{\text{contorno}}(\text{grafito})$$

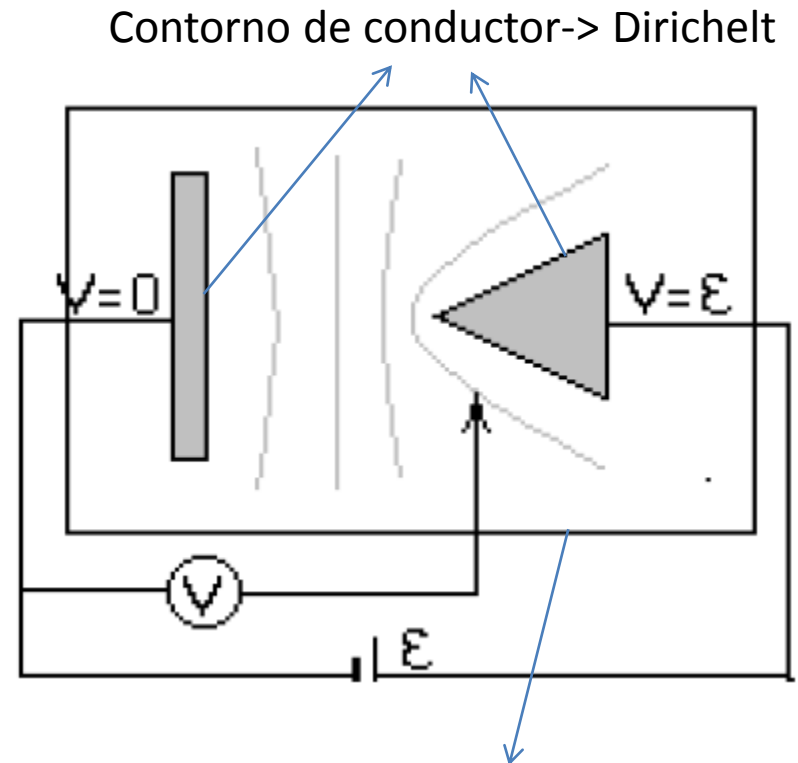
Condiciones de borde de Neumann

$$J_n|_{\text{borde}} = 0$$

$$\vec{J} = \sigma \cdot \vec{E}$$

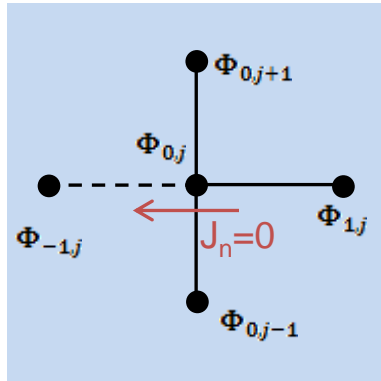
$$J_n|_{\text{borde}} = \sigma \cdot E_n|_{\text{borde}} = 0 \Rightarrow E_n|_{\text{borde}} = 0$$

$$E_t|_{\text{borde}} \neq 0$$



Condiciones de borde de Neumann

En extremos de la placa:



$E_n=0$

$$\frac{\partial \Phi}{\partial x} = 0$$

$$\Phi_{1,j} + \Phi_{-1,j} + \Phi_{0,j+1} + \Phi_{0,j-1} - 4\Phi_{0,j} = 0$$

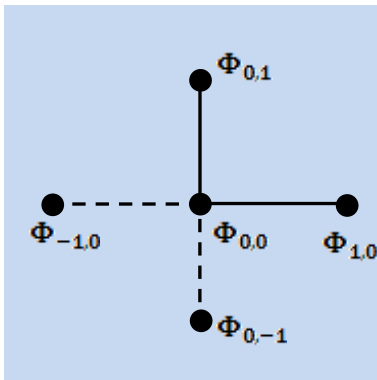
$$\frac{\partial \Phi}{\partial x} \cong \frac{\Phi_{1,j} - \Phi_{-1,j}}{2d} \quad \Phi_{-1,j} \cong \Phi_{1,j} - 2d \frac{\partial \Phi}{\partial x}$$

$$2\Phi_{1,j} - 2d \frac{\partial \Phi}{\partial x} + \Phi_{0,j+1} + \Phi_{0,j-1} - 4\Phi_{0,j} = 0$$

$$\Phi_{0,j} = \frac{2\Phi_{1,j} + \Phi_{0,j+1} + \Phi_{0,j-1}}{4}$$

C.B.
Extremos

En esquinas de la placa: (i=0, j=0)



$E_n=0$

$$\frac{\partial \Phi}{\partial x} = 0$$

$$\frac{\partial \Phi}{\partial y} = 0$$

$$2\Phi_{1,0} - 2d \frac{\partial \Phi}{\partial x} + \Phi_{0,1} + \Phi_{0,-1} - 4\Phi_{0,0} = 0$$

$$\frac{\partial \Phi}{\partial y} \cong \frac{\Phi_{1,0} - \Phi_{-1,0}}{2d} \quad \Phi_{0,-1} \cong \Phi_{0,1} - 2d \frac{\partial \Phi}{\partial y}$$

$$2\Phi_{1,0} - 2d \frac{\partial \Phi}{\partial x} + 2\Phi_{0,1} - 2d \frac{\partial \Phi}{\partial y} - 4\Phi_{0,0} = 0$$

$$4\Phi_{0,0} = 2\Phi_{1,0} + 2\Phi_{0,1}$$

$$\Phi_{0,0} = \frac{\Phi_{1,0} + \Phi_{0,1}}{2}$$

C.B.
Esquinas